

位姿变换中的离群点去除方法

First A. Author*. Second B. Author, Jr.**
Third C. Author***

*National Institute of Standards and Technology, Boulder, CO 80305
USA (Tel: 303-555-5555; e-mail: author@boulder.nist.gov).

**Colorado State University, Fort Collins, CO 80523 USA (e-mail:
author@lamar.colostate.edu)

***Electrical Engineering Department, Seoul National University,
Seoul, Korea, (e-mail: author@snu.ac.kr)}

Abstract: xx.

Keywords: Registration, Scan-matching, Lidar, Transformation.

1. INTRODUCTION

results.

2. 问题描述

在 SLAM 算法中，通常将每个关键帧当作一个节点，使用传感器数据计算不同关键帧之间的位姿变换（旋转矩阵 R 和平移向量 t ）；这些位姿变换相当于节点之间的边，那么就可以使用图的形式来表示各节点之间的关系；然而在这个图中，某些位姿变换可能存在离群点，使得对应的边与图中其他边不相容；

同样的情况也出现在传感器网络中；在传感器网络定位问题中，每个传感器代表一个节点，传感器可以测到得到自身与其他节点之间的位姿变换；那么我们可以使用图的形式来表示这个传感器网络；其中图的节点表示每个传感器，图的边表示传感器之间的位姿变换；因为噪声等因素的影响，直接测量得到的不同节点之间的位姿变换可能存在离群点，使得对应边与图中其他边不相容；对此，我们提出一种算法去除图中存在离群点的位姿变换，或者这些不相容的边；

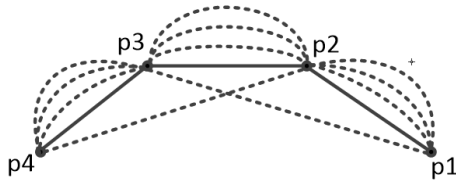


图 1. 节点位置和测量举例

图 1 给出了该问题的例子；该图中共有 4 个节点，任意两个节点之间的一条虚线表示一次测量得到的位姿变换；我们使用旋转平移矩阵 $T \in R^{4 \times 4}$ 来表示位姿变换；节点 1 和节点 2 之间存在 3 次测量，得到位姿 $T_{12}^1, T_{12}^2, T_{12}^3$ ；以此类推，节点 2 和节点 3 之间存在 3 次测量，节点 3 和节点 4 之间存在 3 次测量；然后不相邻的节点 1 和节点 3 之间存在 1 次测量，得到位姿变换 T_{13} ；不相邻的节点 2

和节点 4 之间存在 1 次测量，得到位姿变换 T_{24} ；然后我们假设节点 3 到节点 4 的测量中，某一次测量 T_{34}^3 是离群点；那么该算法的目的是识别出这个离群点并去除；

3. 算法流程

设 p_1, p_2 是图中的两个节点； p_1 和 p_2 之间共进行了 3 次测量，得到 3 个位姿变换矩阵 $T_{12}^1, T_{12}^2, T_{12}^3$ ；



图 2. 不借助中心节点测量

同时 p_1, p_2 经过另外一个节点（如 p_3, p_4, p_5 ），也能构成连线；这样 p_1 和 p_2 之间的位姿变换可以借助中间节点表示如下；

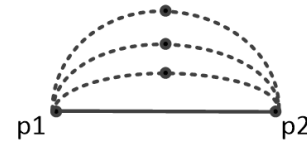


图 3. 借助 1 个中间节点测量

$$T_{12}^4 = T_{13} T_{32}$$

$$T_{12}^5 = T_{14} T_{42}$$

$$T_{12}^6 = T_{15} T_{52}$$

同样的方式， p_1 和 p_2 经过另外两个节点（如 p_6 与 p_7 、 p_8 与 p_9 、 p_{10} 与 p_{11} ）也能构成连线；这样 p_1 和 p_2 之间的位姿变换可以借助两个中间节点表示；

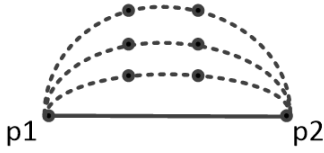


图 4.借助 2 个中间节点测量

$$T_{12}^7 = T_{16}T_{67}T_{72}$$

$$T_{12}^8 = T_{18}T_{89}T_{92}$$

$$T_{12}^9 = T_{1,10}T_{10,11}T_{11,2}$$

以此类推， p_1 和 p_2 之间的位姿变换可以借助多个中间节点来表示；这些中间节点的寻找，可以使用各种路径规划算法（如 A*算法）；假设通过该方式，共获得了 n 个 p_1, p_2 之间的位姿变换 $T_{12}^i, i \in [1, n]$ ；

如果在计算 p_1 和 p_2 之间位姿变换时，涉及的所有节点之间的位姿变换只存在普通噪声（如方差较小的正态分布噪声），不存在离群点噪声，那么计算得到的 $T_{12}^i, i \in [1, n]$ 应该比较接近；相反如果某些节点之间的位姿变换存在离群点噪声，会使得计算得到的 $T_{12}^i, i \in [1, n]$ 中某些数值存在离群点；

我们将位姿变换矩阵 T_{12}^i 拆分为旋转矩阵 R_{12}^i 和平移向量 t_{12}^i ，分别旋转矩阵 R_{12}^i 和平移向量 t_{12}^i 去除离群点；如果某个位姿变换矩阵 $T_{12}^i, i = i_1$ 对应的旋转矩阵 $R_{12}^{i_1}$ 或平移向量 $t_{12}^{i_1}$ 中，任意一个存在离群点，那么就认为该位姿变换矩阵 $T_{12}^{i_1}$ 属于离群点；在旋转矩阵 $R_{12}^i, i \in [1, n]$ 和平移向量 $t_{12}^i, i \in [1, n]$ 中去除离群点的具体步骤在后续章节中具体描述；

已知 p_1 和 p_2 点之间共获得了 n 个位姿变换， $T_{12}^i, i \in [1, n]$ ；通过离群点去除算法，我们识别出某个位姿变换 $T_{12}^i, i = i_1$ 是离群点；如果 $T_{12}^{i_1}$ 只经过一条边（没有经过其他节点），那么 $T_{12}^{i_1}$ 对应的边属于离群点的概率 $p=1$ ；如果 $T_{12}^{i_1}$ 经过两条边（如 $T_{12}^4 = T_{13}T_{32}$ ），那么我们不能确定离群点具体位于 T_{13} 还是 T_{32} ，或者 T_{13} 和 T_{32} 都有离群点，那么可以设这每条属于离群点的概率 $p=0.5$ ；如果 $T_{12}^{i_1}$ 经过三条边（ $T_{12}^7 = T_{16}T_{67}T_{72}$ ），我们不能确定离群点具体位于 T_{16} 、 T_{67} 或 T_{72} ，或者都存在离群点；那么可以设每条边属于离群点的概率 $p=1/3$ ，以此类推；

通常输入的数据是图的形式 $G = [V, E]$ ，图的节点 V 表示 SLAM 中的关键帧或者传感器网络中的节点，图的边 E 表示不同节点之间的位姿变换；采用上述方式，我们可以对图中任意两个相邻的节点 p_k 和 p_{k+1} 计算涉及的位姿变换 $T_{k,k+1}^i, i \in [1, n]$ ；然后筛选出属于离群点的位姿变换 $T_{k,k+1}^i, i \in S$ ，然后将相关的边属于离群点的概率 p 不断累加；

如果两个相邻节点 p_k 和 p_{k+1} ，通过路径规划算法（如 A*算法）寻找到的路径数量太少，使得可以使用的位姿变换 $T_{k,k+1}^i, i \in [1, n_1]$ 数量太少（ $n_1 < n_{thres}$ ），那么可以不进行离群点检测；因为数据点数量太少，会使得离群点检测的结果不可靠；

我们可以对图 $G = [V, E]$ 中任意两个相邻节点 $p_k, p_{k+1} \in V$ ，使用上述步骤寻找离群点，并累加每条边 $e_i \in E$ 属于离群点的概率 p_i ；当图中任意两个相邻节点都判断后，可以根据每条边 $e_i \in E$ 属于离群点的概率，删除对应的边；比如，如果边 e_i 对应的概率 p_i 大于阈值 p_{thres} （可以取 1，或者更小数值），那么这条边可以判断为离群点；经过上述步骤，图 $G = [V, E]$ 中剩余的位姿变换（图的边）会更加可靠；使用这些剩余的位姿变换，可以计算得到更加精确的节点坐标（使用 SLAM 中的算法或者传感器网络定位的算法）；该算法的伪代码如下；

位姿变换中离群点去除算法伪代码

输入：图 $G = [V, E]$, $e_i \in E$ 表示位姿变换

输出：去除离群点后的图 $G' = [V, E']$

For 任意相邻点 $p_k, p_{k+1} \in V$

 使用路径规划算法，尝试寻找 p_k 到 p_{k+1} 的 n_{expect} 条路径，实际寻找到 n 条路径；

 If $n < n_{thres}$

 break

 对于 p_k 到 p_{k+1} 的 n 条路径，计算 p_k 到 p_{k+1} 的位姿变换， $T_{k,k+1}^i, i \in [1, n]$ ；

 使用离群点去除算法，得到 $T_{k,k+1}^i, i \in [1, n]$ 中存在如下离群点， $T_{k,k+1}^i, i \in S$ ；

 For $i \in S$

 设 $T_{k,k+1}^i$ 由 m 条边 e_j 对应的位姿变换相乘得到， $e_j, j \in [1, m]$ ；

p_j 是边 e_j 属于离群点的概率， $p_j = p_i + \frac{1}{m}, j \in [1, m]$ ；

For $e_i \in E$

 If $p_i > p_{thres}$

e_i 对应的位姿变换存在离群点，将 e_i 从 E 中删除；

得到去除离群点的图 $G' = [V, E']$ ；

4. 离群点去除算法

4.1.加权 IQR 的离群点去除算法

离群点去除算法有很多，比如基于密度的离群点去除算法（DBSCAN）、基于聚类的离群点去除算法（K-means 算法）、基于分布的离群点去除算法（IQR）等；在当前问题中，我们假设数据点只有一个聚集的中心，并且为了减少计算量，所以选择 IQR 算法（四分位距）去除离群点；为了将 IQR 算法更好的应用于在当前问题，我们对 IQR 算法进行改进，提出一种加权的 IQR 算法；

我们首先简要介绍 IQR 算法的流程：设输入的数据为 $X = \{x_i \in R, i \in [1, n]\}$ ，其中包括 n 个数据点 $x_i, i \in [1, n]$ ，并且数据点经过从小到大排序；然后需要计算第一四分位数（Q1）、第三四分位数（Q3）和四分位距 IQR；其中第一四分位数（Q1）计算如下：当数据点数量 n 为奇数时，Q1 是位置为 $0.25 \times (n + 1)$ 的数据点（可以通过插值计算）；当数据点数量为偶数时，Q1 是第 $0.25 \times n$ 和 $0.25 \times (n + 1)$ 两个位置之间的插值。Q3 可以通过类似的方式计算；对于奇数个数据点，Q3 是 $0.75 \times (n + 1)$ 位置的值；对于偶数个数据点，Q3 是第 $0.75 \times n$ 和 $0.75 \times (n + 1)$ 之间的插值。四分位距 IQR 是 Q3 与 Q1 的差值：

$$IQR = Q3 - Q1$$

根据 IQR 计算离群点的上下界。通常，使用 $k = 1.5$ 来定义离群点的判定范围；离群点的下界通过公式 $Q1 - 1.5 \times IQR$ 计算。离群点的上界通过公式 $Q3 + 1.5 \times IQR$ 计算。这两个界限定义了一个合理的数据范围，位于此范围之外的数据点被视为离群点。

根据上述步骤计算的上下界，将数据集中小于下界或大于上界的数据点标记为离群点。具体条件如下，如果 $x_i < Q1 - 1.5 \times IQR$ ，则 x_i 被视为下侧的离群点。如果 $x_i > Q3 + 1.5 \times IQR$ ，则 x_i 被视为上侧的离群点。可以通过以下方式过滤数据，只保留位于 $[Q1 - 1.5 \times IQR, Q3 + 1.5 \times IQR]$ 之间的数据点。

IQR 算法的优势在于采用分位数计算，对离群点不敏感，并且计算量小；当把 IQR 算法用于当前问题时，数据点为 $R_{12}^i, i \in [1, n]$ ；此时有些 R_{12}^i 是直接测量得到的，有些 R_{12}^i 是由多个位姿变换相乘得到的，不同的 R_{12}^i 的可靠性是不同的；因此我们提出一种加权的 IQR 算法：

设输入的数据为 $X = \{x_i \in R, i \in [1, n]\}$ ，其中包括 n 个数据点 $x_i, i \in [1, n]$ ，并且数据点经过从小到大排序；数据点 X 集合对应的权重集合为 $W = \{w_i \in R, i \in [1, n]\}$ ；此处的权重 w_i 可以表示数据点 x_i 的可靠性或者非离群点的概率；这个通常可以根据测量得到 x_i 的传感器的方差决定，传感器的方差越小，数据 x_i 的可靠性越高；那么我们在计算主要数据分布区间（IQR 的区间）时，应该使用更多可靠性高的数据点：

相比于普通的 IQR 算法，加权 IQR 算法需要在计算 Q1、Q2 的步骤做出如下修改；我们需要计算一个累加的权重集合 $W_{add} = \{w_i^{add} \in R, i \in [1, n]\}$ ，其中元素 w_i^{add} 计算如下：

$$w_i^{add} = \sum_{j=1}^i w_j$$

总的权重和 W_{sum} 计算如下：

$$W_{sum} = \sum_{j=1}^n w_j$$

第一四分位数（Q1）计算如下：在累加的权重集合 W_{add} 中寻找 $0.25 \times W_{sum}$ 相等的 1 个权重 w_{i1}^{add} （ $w_{i1}^{add} = 0.25 \times W_{sum}$ ），那么 $Q1 = x_{i1}$ ；或者在累加的权重集合 W_{add} 中寻找 $0.25 \times W_{sum}$ 最接近的 2 个权重 w_{i1}^{add} 和 w_{i1+1}^{add}

（ $w_{i1}^{add} < 0.25 \times W_{sum} < w_{i1+1}^{add}$ ），那么 $Q1 = (x_{i1} + x_{i1+1})/2$ ；第三四分位数（Q3）可以类似的即使；在累加的权重集合 W_{add} 中寻找 $0.75 \times W_{sum}$ 相等的 1 个权重 w_{i2}^{add} （ $w_{i2}^{add} = 0.75 \times W_{sum}$ ），那么 $Q1 = x_{i2}$ ；或者在累加的权重集合 W_{add} 中寻找 $0.75 \times W_{sum}$ 最接近的 2 个权重 w_{i2}^{add} 和 w_{i2+1}^{add} （ $w_{i2}^{add} < 0.75 \times W_{sum} < w_{i2+1}^{add}$ ），那么 $Q1 = (x_{i2} + x_{i2+1})/2$ ；其他步骤中，加权 IQR 算法和普通的 IQR 的相同；那么加权 IQR 算法的伪代码如下：

加权 IQR 算法伪代码

输入：数据集合 $X = \{x_i \in R, i \in [1, n]\}$ ，权重集合 $W = \{w_i \in R, i \in [1, n]\}$

输出：去除离群点的数据集合 $X' = \{x'_i \in R, i \in [1, m]\}$

累加的权重集合 $W_{add} = \{w_i^{add} \in R, i \in [1, n]\}$, $w_i^{add} = \sum_{j=1}^i w_j$ ；

总的权重和 $W_{sum} = \sum_{j=1}^n w_j$ ；

For $i \in [1, n]$

If ($w_i^{add} = 0.25 \times W_{sum}$)

Q1 = x_i

If ($w_i^{add} < 0.25 \times W_{sum}$ and $w_{i+1}^{add} > 0.25 \times W_{sum}$)

Q1 = $(x_i + x_{i+1})/2$

For $i \in [1, n]$

If ($w_i^{add} = 0.75 \times W_{sum}$)

Q3 = x_i

If ($w_i^{add} < 0.75 \times W_{sum}$ and $w_{i+1}^{add} > 0.75 \times W_{sum}$)

Q3 = $(x_i + x_{i+1})/2$

IQR = Q3 - Q1;

保留 $[Q1 - 1.5 \times IQR, Q3 + 1.5 \times IQR]$ 之间的数据点；

4.2 权重计算

该算法中在 p_1 和 p_2 点之间获得了 n 个位姿变换， $T_{12}^i, i \in [1, n]$ ；其中有些位姿变换 T_{12}^i 是直接测量得到的，有些位姿变换 T_{12}^i 是使用多个位姿变换矩阵相乘得到；那么不同的位姿变换 T_{12}^i 具有不同的可靠性：

我们设图 $G=[V,E]$ 中每条边 $e_i \in E$ 的权重为 w_i^e ；这个权重表示这条边对应的位姿变换 T_{ei} 属于非离群点的先验概率，或者表示位姿变换 T_{ei} 的可靠性；权重 w_i^e 可以根据测量的传感器的可靠性或者方差来预先设定；假设 p_1 和 p_2 点借助 p_3 点构成连线，那么 p_1, p_2 点之间的位姿变换如下：

$$T_{12} = T_{13} T_{32}$$

设 T_{13} 对应的权重为 w_{13} （非离群点的概率）， T_{32} 对应的权重为 w_{32} ；那么 T_{12} 对应的权重 w_{12} 如下：

$$w_{12} = w_{13} w_{32}$$

通常情况下，要求 T_{13} 是非离群点并且 T_{32} 也是非离群点，这样计算出来的 T_{12} 才是非离群点；因此 T_{12} 属于非离群点的概率是 w_{13} 和 w_{32} 的乘积；然而也存在这样的概率， T_{13} 是离群点并且 T_{32} 是离群点，计算出来的 T_{12} 因为巧合不是离群点；但这样的概率通常比较小，并且为了简化计算，我们忽略这种情况的概率；此处我们讨论了第一种情况，当位姿变换 T_{12}^i 对应的 m 条边 $e_j, j \in S$ ，并且每条边 e_j 对应的权重为 w_j^e ；那么位姿变换 T_{12}^i 对应的权重 w_{12}^e 如下：

$$w_{12}^i = \prod_{j \in S} w_j^e$$

使用上述步骤，我们可以计算得到 n 个位姿变换 $T_{12}^i, i \in [1, n]$ 对应的权重， $w_{12}^i, i \in [1, n]$ ；

4.3 平移向量中离群点去除

我们将位姿变换 T_{12}^i 中的旋转矩阵 R_{12}^i 和平移向量 t_{12}^i 分开，依次去除离群点；下面首先描述平移向量 $t_{12}^i, i \in [1, n]$ 中去除离群点的方法；如果整个系统在平面上运行，那么平移向量 $t_{12}^i, i \in [1, n]$ 如下：

$$t_{12}^i = [tx_{12}^i, ty_{12}^i]^T \in R^2, i \in [1, n]$$

对 $t_{12}^i, i \in [1, n]$ 中每个分量（ tx_{12}^i 和 ty_{12}^i ），依次使用加权 IQR 算法去除离群点；只要某个分量被判断为离群点，那么整个数据点 t_{12}^i 就被当作离群点去除；

如果整个系统在三维空间上运行，那么平移向量 $t_{12}^i, i \in [1, n]$ 如下：

$$t_{12}^i = [tx_{12}^i, ty_{12}^i, tz_{12}^i]^T \in R^3, i \in [1, n]$$

对 $t_{12}^i, i \in [1, n]$ 中每个分量（ tx_{12}^i 、 ty_{12}^i 和 tz_{12}^i ），依次使用加权 IQR 算法去除离群点；只要某个分量被判断为离群点，那么整个数据点 t_{12}^i 就被当作离群点去除；三维空间中平移向量的离群点去除方式伪代码如下：

平移向量中离群点去除算法伪代码

输入：平移集合 $t_{12}^i = [tx_{12}^i, ty_{12}^i, tz_{12}^i]^T \in R^3, i \in [1, n]$ ，权重集合 $w_i \in [1, n]$

输出：去除离群点的集合， $t_{12}^i \in S$

对分量 tx_{12}^i 使用加权IQR算法去除离群点，得到 $tx_{12}^i, i \in S_1$ ；

对分量 ty_{12}^i 使用加权IQR算法去除离群点，得到 $ty_{12}^i, i \in S_2$ ；

对分量 tz_{12}^i 使用加权IQR算法去除离群点，得到 $tz_{12}^i, i \in S_3$ ；

去除离群点的平移集合， $t_{12}^i, i \in S, S = S_1 \cap S_2 \cap S_3$ ；

4.4 二维旋转矩阵中离群点去除

如果整个系统在平面上运行，那么位姿变换矩阵 T 如下：

$$T = \begin{bmatrix} R & t \\ 0 & 1 \end{bmatrix} \in R^{3 \times 3}$$

$$R = \begin{bmatrix} r_{11} & r_{12} \\ r_{21} & r_{22} \end{bmatrix} = \begin{bmatrix} \cos(\theta) & \sin(\theta) \\ -\sin(\theta) & \cos(\theta) \end{bmatrix} \in R^{2 \times 2}$$

我们可以将旋转矩阵 R 转为单个旋转角度 θ ：

$$\theta = \arcsin(r_{12}) \in [0, 2\pi]$$

按照这个方式， n 个位姿变换矩阵 $T_{12}^i, i \in [1, n]$ 可以得到如下旋转角度集合 $\theta_i \in [0, 2\pi], i \in [1, n]$ ；但是因为旋转角度具有周期性，如果直接使用离群点去除算法对 θ_i 集合处理，会遇到如下问题；如果多个 θ_i 数值分布在 0 附近，那么有些角度是略大于 0 的数值，有些角度是略小于 2π 的数值；因为角度值跨越分界线，会使得原本相差很小的角度在数值上差异很大；

对此我们提出如下方式；已知角度集合为 $\theta_i \in [0, 2\pi], i \in [1, n]$ ，将这些角度转换为单位圆上的坐标 $P = [\cos(\theta_i), \sin(\theta_i)], i \in [1, n]$ ；因为我们假设这些数据只有一个聚集的中心，那么在二维平面上，这些单位圆上的坐标也应该只有一个聚集中心；下面对集合 P 中的两个分量（ $\cos(\theta_i)$ 和 $\sin(\theta_i)$ ）依次使用加权 IQR 算法去除离群点；只要某个分量被判断为离群点，那么对应的 θ_i 就被当作离群点去除；该算法的伪代码如下：

二维旋转矩阵中离群点去除算法伪代码

输入：旋转矩阵集合 $R_{12}^i, i \in [1, n]$ ，权重集合 $w_{12}^i, i \in [1, n]$

输出：去除离群点的集合 $R_{12}^i, i \in S$

转换为角度集合， $\theta_i \in [0, 2\pi], i \in [1, n], \theta_i = \arcsin(r_{12}^i)$ ；

转换为单位圆坐标， $[\cos(\theta_i), \sin(\theta_i)], i \in [1, n]$ ；

对分量 $\cos(\theta_i)$ 使用加权IQR算法去除离群点，得到 $\cos(\theta_i), i \in S_1$ ；

对分量 $\sin(\theta_i)$ 使用加权IQR算法去除离群点，得到 $\sin(\theta_i), i \in S_2$ ；

去除离群点的旋转矩阵集合为， $R_{12}^i, i \in S, S = S_1 \cap S_2$ ；

4.5 三维旋转矩阵中离群点去除

如果整个系统在三维空间中运行，那么位姿变换矩阵 T 如下：

$$T = \begin{bmatrix} R & t \\ 0 & 1 \end{bmatrix} \in R^{4 \times 4}$$

$$R = \begin{bmatrix} r_{11} & r_{12} & r_{13} \\ r_{21} & r_{22} & r_{23} \\ r_{31} & r_{32} & r_{33} \end{bmatrix} \in R^{3 \times 3}$$

我们可以将旋转矩阵 R 转为旋转向量 v ：

$$v = \theta n \in R^3$$

其中 $n \in R^3$ 是单位向量，表示旋转轴； $\theta \in [0, 2\pi]$ 是旋转角度；按照这个方式， n 个位姿变换矩阵 $T_{12}^i, i \in [1, n]$ 可以得到如下旋转向量集合 $v_i = \theta_i n_i \in R^3, i \in [1, n], \theta_i \in [0, 2\pi]$ ；但是因为旋转角度具有周期性，如果直接使用离群点去除算法对 $v_i, i \in [1, n]$ 集合处理，会遇到如下问题；如果多个 v_i 对应的 θ_i 数值分布在 0 附近，那么有些角度是

略大于 0 的数值，有些角度是略小于 2π 的数值；因为角度值跨越分界线，会使得原本相差很小的角度在数值上差异很大；那么会使得这些旋转向量 \mathbf{v}_i 在三维空间上的位置相差很大；

对此我们提出如下方式：首先需要寻找旋转向量 $\mathbf{v}_i, i \in [1, n]$ 集合中旋转角度 $\theta_i, i \in [1, n]$ 的聚集范围；设 $\theta_i, i \in [1, n]$ 集合中大部分角度值分布在 θ_{ave} 附近，那么我们可以将 θ_i 的表示范围从 $[0, 2\pi]$ 调整为 $[\theta_{ave} - \pi, \theta_{ave} + \pi]$ ；然后对调整后的旋转向量 $\mathbf{v}_i, i \in [1, n]$ 集合的每个分量使用加权 IQR 算法去除离群点；

具体处理步骤如下：已知角度集合为 $\theta_i \in [0, 2\pi], i \in [1, n]$ ，将这些角度转换为单位圆上的坐标

$P = [\cos(\theta_i), \sin(\theta_i)], i \in [1, n]$ ；因为我们假设这些数据只有一个聚集的中心，那么在二维平面上，这些单位圆上的坐标也应该只有一个聚集中心；下面对集合 P 中的两个分量（ $\cos(\theta_i)$ 和 $\sin(\theta_i)$ ）依次使用加权 IQR 算法去除离群点；只要某个分量被判断为离群点，那么对应的 θ_i 就被当作离群点去除；假设剩余的角度集合为， $[\cos(\theta_i), \sin(\theta_i)], i \in S$ ；那么角度分布的平均位置如下：

$$\theta_{ave} = \frac{1}{|S|} \sum_{i \in S} \theta_i$$

角度集合中每个元素调整为如下形式， $\theta_i \in [\theta_{ave} - \pi, \theta_{ave} + \pi], i \in [1, n]$ ；然后旋转向量调整为如下：

$$\mathbf{v}_i = \theta_i \mathbf{n}_i \in \mathbb{R}^3, i \in [1, n]$$

$$\theta_i \in [\theta_{ave} - \pi, \theta_{ave} + \pi], i \in [1, n]$$

对 $\mathbf{v}_i, i \in [1, n]$ 中每个分量（ \mathbf{v}_i^1 、 \mathbf{v}_i^2 和 \mathbf{v}_i^3 ），依次使用加权 IQR 算法去除离群点；只要某个分量被判断为离群点，那么整个数据点 \mathbf{R}_{12}^i 就被当作离群点去除；三维空间中旋转矩阵的离群点去除方式伪代码如下：

三维旋转矩阵中离群点去除算法伪代码

输入：旋转矩阵集合 $\mathbf{R}_{12}^i, i \in [1, n]$ ，权重集合 $\mathbf{w}_{12}^i, i \in [1, n]$

输出：去除离群点的集合 $\mathbf{R}_{12}^i, i \in S$

转换为旋转向量， $\mathbf{v}_i = \theta_i \mathbf{n}_i \in \mathbb{R}^3, \theta_i \in [0, 2\pi]$ ；

旋转角度集合为， $\theta_i \in [0, 2\pi], i \in [1, n]$ ；

旋转角度转为为单位圆坐标， $[\cos(\theta_i), \sin(\theta_i)], i \in [1, n]$ ；

对单位圆坐标分量 $\cos(\theta_i)$ 使用加权 IQR 算法去除离群点，得到 $\cos(\theta_i), i \in S_1$ ；

对单位圆坐标分量 $\sin(\theta_i)$ 使用加权 IQR 算法去除离群点，得到 $\sin(\theta_i), i \in S_2$ ；

计算角度分布均值， $\theta_{ave} = \frac{1}{|S|} \sum_{i \in S} \theta_i, i \in S_1 \cap S_2$ ；

角度集合转换为， $\theta_i \in [\theta_{ave} - \pi, \theta_{ave} + \pi], i \in [1, n]$ ；

旋转向量集合转换为， $\mathbf{v}_i = [\mathbf{v}_i^1, \mathbf{v}_i^2, \mathbf{v}_i^3]^T = \theta_i \mathbf{n}_i \in \mathbb{R}^3, \theta_i \in$

$[\theta_{ave} - \pi, \theta_{ave} + \pi], i \in [1, n]$ ；

对旋转向量中分量 \mathbf{v}_i^1 使用加权 IQR 算法去除离群点，得到 $\mathbf{v}_i^1, i \in Q_1$ ；

对旋转向量中分量 \mathbf{v}_i^2 使用加权 IQR 算法去除离群点，得到 $\mathbf{v}_i^2, i \in Q_2$ ；

对旋转向量中分量 \mathbf{v}_i^3 使用加权 IQR 算法去除离群点，得到 $\mathbf{v}_i^3, i \in Q_3$ ；

去除离群点的旋转矩阵集合为， $\mathbf{R}_{12}^i, i \in Q_1 \cap Q_2 \cap Q_3$ ；

5. 路径规划算法

5.1 Dijkstra 算法

该算法需要在 \mathbf{p}_1 和 \mathbf{p}_2 点之间寻找多个位姿变换， $\mathbf{T}_{12}^i, i \in [1, n]$ ；该问题相当于寻找从 \mathbf{p}_1 到 \mathbf{p}_2 的多条路径，可以使用 Dijkstra 算法；Dijkstra 算法在寻找路径时没有启发式函数提供的方向；如果我们以 \mathbf{p}_1 点为起点，Dijkstra 算法从 \mathbf{p}_1 点开始往周围扩散，计算每个点对应的最短路径代价，直到遇到 \mathbf{p}_2 点结束；但是该算法中，我们通常只要求 \mathbf{p}_1 和 \mathbf{p}_2 点之间最多经过一个或者两个其他点构成连线；如果 \mathbf{p}_1 和 \mathbf{p}_2 点之间经过太多点构成连线，那么累加得到 $\mathbf{p}_1, \mathbf{p}_2$ 的位姿变换会因为噪声而变得不再准确；所以即使 Dijkstra 算法在寻找路径时没有启发式函数提供的方向，在寻找的路径很短时，增加的计算量并没有很多；

我们设图 $G = [V, E]$ 中每条边 \mathbf{e}_i 的权重为 \mathbf{w}_i^e ；这个权重表示这条边对应的位姿变换 $\mathbf{T}_{\mathbf{e}_i}$ 属于非离群点的概率，或者表示位姿变换 $\mathbf{T}_{\mathbf{e}_i}$ 的可靠性；权重 \mathbf{w}_i^e 可以根据测量的传感器的可靠性或者方差来预先设定；

假设 \mathbf{p}_1 和 \mathbf{p}_2 点借助 \mathbf{p}_3 点构成连线，那么 $\mathbf{p}_1, \mathbf{p}_2$ 点之间的位姿变换如下：

$$\mathbf{T}_{12} = \mathbf{T}_{13} \mathbf{T}_{32}$$

设 \mathbf{T}_{13} 对应的权重为 \mathbf{w}_{13} （非离群点的概率）， \mathbf{T}_{32} 对应的权重为 \mathbf{w}_{32} ；那么 \mathbf{T}_{12} 属于非离群点的概率 \mathbf{w}_{12} 如下：

$$\mathbf{w}_{12} = \mathbf{w}_{13} \mathbf{w}_{32}$$

那么我们需要寻找一条从 \mathbf{p}_1 到 \mathbf{p}_2 的路径，使得累计的权重（非离群点的概率）最大化；然后上述形式的误差很难用于路径规划算法，比如 Dijkstra 算法要求路径的误差是累加形式；因为我们对上述误差取对数再乘 -1，得到如下：

$$-\log(\mathbf{w}_{12}) = -\log(\mathbf{w}_{13} \mathbf{w}_{32})$$

$$-\log(\mathbf{w}_{12}) = -\log(\mathbf{w}_{13}) - \log(\mathbf{w}_{32})$$

我们使用每条边的权重 \mathbf{w}_i^e 的对数乘 -1，作为这条边在路径规划算法中的权重， $-\log(\mathbf{w}_i^e)$ ；首先上述权重形式符合路径代价是累加的形式；然后在没有取负数之前，我们需要寻找路径代价 \mathbf{w}_{12} 的最大值；在取负数后，我们需要寻找 $-\log(\mathbf{w}_{12})$ 的最小值，这个符合路径规划算法中寻找最短路径的要求；然后边的权重 \mathbf{w}_i^e 是 $[0, 1]$ 的数值，取

$-\log(w_i^e)$ 的范围在 $[0, +\infty]$, 符合 Dijkstra 算法对边权重是非负数的要求;

在该算法中, 我们需要寻找 p_1 到 p_2 的 n 条路径, 要求这些路径的长度尽可能短 (或者路径代价尽量小), 并且要求这些路径尽量不使用重复边; 不使用重复边的原因是, 如果两条路径中大量边是重复的, 那么这两条路径对应的 p_1, p_2 之间的位姿变换的独立性很低, 不能代表两次独立的 p_1, p_2 之间位姿变换的测量;

对此我们可以采用如下方式获得 n 条路径: 首先使用 Dijkstra 算法寻找图 $G = [V, E]$ 中 p_1 到 p_2 的最短路径; 然后对于这条路径上的所有边的权重, 都设置为一个非常大的数值 Δ (例如 10^5), 其他边的权重不变; 然后再次使用 Dijkstra 算法寻找从 p_1 到 p_2 的最短路径; 此时路径规划算法会尽量避免使用上次路径中已经使用过的边 (因为代价为 Δ), 除非必须使用某条边, 否则无法从 p_1 到达 p_2 ; 依次类推, 每次获得一条新的从 p_1 到 p_2 的路径中, 就把已经使用的边的权重设为 Δ ; 该算法的停止条件可以是寻找到 n 条路径, 或者寻找到一条新的路径, 该路径的所有边都是由重复边组成 (路径权重为 $k \times \Delta$, k 是路径的边数量); 该算法的伪代码如下:

使用 Dijkstra 算法寻找 n 条路径伪代码

输入: 图 $G = [V, E]$, 边的权重 $w_i^e, i \in [1, |E|]$, 路径数量 n

输出: 从 p_1 到 p_2 的 k 条路径, $k \leq n$

计算负对数权重, $\omega_i^e = -\log(w_i^e), i \in [1, |E|]$;

For j in 1 to n

 使用 ω_i^e 作为边权重, 使用Dijkstra算法寻找 p_1 到 p_2 的最短路径, 路径代价为 $C[j]$, 路径为 $Path[j]$;

 将该路径对应的所有边权重设置为 Δ (10^5);

 If($Path[j]$ 的边数 $\times \Delta = C[j]$)

 删除 $Path[j]$, break

输出 p_1 到 p_2 的 k 条路径, $k \leq n$;

4.2 A*算法

该算法需要在 p_1 和 p_2 点之间寻找多个位姿变换, $T_{12}^i \in [1, n]$; 该问题相当于寻找从 p_1 到 p_2 的多条路径; 除了使用 Dijkstra 算法, 也可以采用 A*算法; A*算法采用如下目标函数来评估路径上的每个节点;

$$f(n) = g(n) + h(n)$$

其中 $f(n)$ 表示从起点 p_1 到终点 p_2 的总估计代价; $g(n)$ 表示从起点 p_1 到节点 n 的实际代价 (已经走过的所有边权重和); $h(n)$ 是启发式函数, 用于估计从节点 n 到终点 p_2 的估计代价; 该函数 $h(n)$ 给算法提供了终点的方向, 使得算法可以更快的到达终点 p_2 ; 如果不使用函数 $h(n)$, 那么 A*算法会退化为 Dijkstra 算法;

A*算法中的启发式函数 $h(n)$, 我们可以采用欧几里得距离形式;

$$h(n) = \lambda \sqrt{(x_n - x_{p2})^2 + (y_n - y_{p2})^2}$$

该启发式函数要求预先知道图 $G = [V, E]$ 中每个节点的三维坐标; 这个可以使用没有去除离群点的图 $G = [V, E]$ 先计算一组粗略的每个节点的坐标, 用于该启发式函数; A*算法中启发式函数的可接受性要求 $h(n)$ 不能高于真实的代价 $h^*(n)$, 否则寻找的路径可能是次优路径; 然后我们使用没有去除离群点的图 $G = [V, E]$ 计算得到的节点坐标的粗略的, 所以如果直接使用欧式距离, 可能使得 $h(n)$ 大于真实的代价 $h^*(n)$; 因为我们在欧式距离上乘一个系数 $\lambda \in [0, 1]$; 使用 A*算法在寻找 p_1 到 p_2 的路径中, 其他步骤和使用 Dijkstra 算法相同;

REFERENCES

- Brown, F., Harris, M.G., and Other, A.N. (1998). Name of paper. In Name(s) of editor(s) (ed.), *Name of book in italics*, page numbers. Publisher, Place of publication.
- Smith, S.E. (2004). *Name of book in italics*, page or chapter numbers if relevant. Publisher, Place of publication.
- Smith, S.E. and Jones, L.Q. (2008). Name of paper. *Name of journal in italics*, volume (number), page numbers.

【待补充, 调整格式后加入】